

株建設企画コンサルタント 正員 ○白子 博明  
 東海大学土木工学科 正員 赤石 勝  
 東海大学土木工学科 正員 猪田 信徳

### 1. まえがき

有限要素法で多次元圧密解析を行う場合、飽和粘土の透水係数を知る必要がある。簡単なため標準圧密試験から間接的に求められる透水係数が利用されることが多いが解析に必要なその他の定数値と同じ程度の精度があるのか、また試料の乱れをセン断変形によるものと解釈すれば、多次元圧密解析ではセン断変形(乱れ)による圧縮性や透水特性に関する定数の変化をいかに評価したらよいかなど、不明な点もかなりあると思われる。

この報告は、異方圧密粘土の透水特性を調べる初步的段階として標準圧密ならびに、等方圧密試験から間接的に得られる透水係数と直接透水試験から得られた透水係数とを比較するとともに、非ダルシー流れが圧密挙動に及ぼす影響について検討を加えたものである。

### 2. 試料および実験方法

2.1 試料 実験に用いた試料は千葉県柏市の沖積地盤より採取したものであり、物理的性質はTable-1に示すところである。

2.2 実験方法 (1) 標準圧密試験機による実験。練り返し試料を標準圧密試験機に詰め $P_0=0.48 \text{ kg/cm}^2$ で24時間圧密し、リング高さに合わせて試料上端をカットした後、再び24時間圧密する。その後、24時間間隔で圧密試験を行ふとともに、各段階の荷重を載荷する前に浸水位透水試験を実施した。

(2) 三軸試験機による実験。練り返し試料をモールドに詰め自立する程度に圧密した後、この試料を三軸室に移し、 $\sigma_0=0.148 \text{ kg/cm}^2$ で等方圧密する。等方圧密を終了した試料から、直径5cm、高さ5cmの圧密試験用供試体を成形した。供試体を三軸室にセットし、等方圧密圧力増分 $\Delta P$ を0.3, 0.4, 0.8, 1.6  $\text{kg/cm}^2$ で48時間間隔毎に段階的に加え圧密した。片面排水で上端からの排水量と底部の過剰隙水圧の経時変化を測定した。等方圧密試験でも48載荷前に浸水位透水試験を実施した。

### 3. 実験結果と考察

(1) 直接・間接的に得られる透水係数。Fig-1a)は標準圧密試験から得られた各載荷段階における体積圧縮係数 $m_v$ と透水係数 $C_v$ を求めたものである。圧密圧力の増加とともに $m_v$ は減少するが $C_v$ はほぼ一定である。 $m_v$ の減少と同じ割合で透水係数も減少するため圧密圧力によらず $C_v$ は一定になったものと考えられる。圧密試験から間接的に求めた透水係数 $k_p$ と透水試験から直接求めた透水係数 $k_t$ を比較したのがFig-1b)である。

各圧密圧力段階ごとにほぼよく一致している。

Fig-2は等方圧密試験結果をFig-1と同じように図示したものである。透水係数の差が少し大きいがFig-1に類似した傾向が伺われる。しかし、Fig-1b)とFig-2b)の透水係数 $k_p$ と $k_t$ を比較すると等方圧密試験の $k_p$ の方が大きさは値である。練り返し試料であっても圧密時の応力状態によって異なった骨格構造が形成され透水係数の差に

Table-1

$G_s$	$W_L(\%)$	$W_P(\%)$	clay(%)	Silt(%)	Sand(%)	Liq(%)
2.68	70.4	27.5	60.5	34.7	4.8	10.1

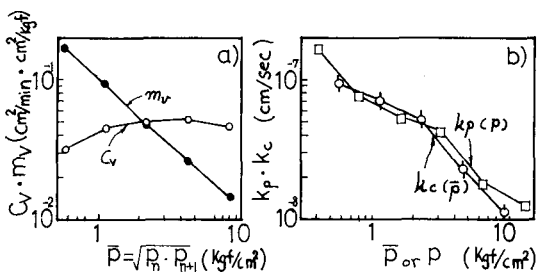


Fig-1

な、たのではないかと思われる。

(2) 等方圧密中の透水係数  $C_V$ 。Terzaghi-Föhrlich<sup>1)</sup>解によれば、等方圧密試験中供試体底部で測定した過剰間隙水圧  $U$  の経時変化からも式(1)によって  $C_V$  を求めることができる。体積ひずみから  $m_v$  を求めれば直感的に圧密中の透水係数を知ることもできる。

$$C_V = \frac{H^2}{3 \cdot E} \left\{ \frac{1}{2} + \log_e \left( \frac{U_0}{U} \right) \right\} \quad (1)$$

ここに、 $H$  は最大排水距離、 $U_0$  は初期過剰間隙水圧または圧密時間である。

式(1)を用いて各圧密載荷段階における  $C_V$  と圧密度  $U$

との関係を示したのが Fig.~2 である。体積ひずみの経時変化から求めた圧密係数  $C_V$  より大きな値が得られ、圧密中  $C_V$  が大きく変化している。Fig.~2(a)に示した  $C_V$  値は圧密圧力の大きさによるらず一定という結果と異なり圧密中は、 $m_v$  と  $m_v^*$  の減少割合が異なるようである。

(3) 非ダルシー流れ。Fig.~3 に示した圧密中の  $C_V$  値の変動の原因として体積ひずみのクリープ特性や非ダルシー流れの影響などが考えられるが、ここでは後者について検討する。

Fig.~4 は  $G'_1 = 0.4 \text{ kgf/cm}^2$  で圧密された試料の透水試験から流速  $V$  と動水勾配  $i$  の関係を示したものである。小さな動水勾配ではダルシー則からのズレが観測される。そこで圧密時の非ダルシー流れに関する吉田<sup>2)</sup>らの研究を参考にして Fig.~5 に示すひずみ関係とそれに対応する次の圧密方程式を用いて等方圧密時の間隙水圧変動について検討することにする。

$$(A) V = k \cdot i \quad \dots \quad \frac{\partial U}{\partial t} = \frac{k}{m_v \cdot i_0} \frac{\partial^2 U}{\partial z^2}$$

$$(B) V = k \cdot (i - i_0(1 - e^{-C_i})) \quad \dots \quad \frac{\partial U}{\partial t} = \frac{k}{m_v \cdot i_0} [1 - i_0 \cdot C \cdot \exp(-\frac{C}{i_0} \frac{\partial U}{\partial z})] \frac{\partial^2 U}{\partial z^2}$$

$$(C) V = k \left( \frac{i}{i_0} \right)^n \quad \dots \quad \frac{\partial U}{\partial t} = \frac{k \cdot n}{m_v \cdot (i_0 \cdot i)^{n-1}} \left( \frac{\partial U}{\partial z} \right)^{n-1} \frac{\partial^2 U}{\partial z^2}$$

Fig.~2, 4 に示した実験結果と吉田<sup>2)</sup>らの研究を参考にして Fig.~6 中に示すように計算定数を決定した。Fig.~3 に示した等方圧密圧力  $G'_1 = 0.4 \text{ kgf/cm}^2$  の間隙水圧の測定値と式(1)を用いて求めた  $C_V$  を式(A), (B), (C) を用いて計算した結果から求めた  $C_V$  を比較したのが Fig.~6 である。式(A), (B) では、 $C_V$  はほぼ一定である。式(C)では、圧密度約 50% では計算に用いた  $C_V$  と直線的になるが、その後でかなり変化している。

しかし実測値と比較すると多少の変化は小さい。実測値に合わせるために  $n$  を大きくするか小さく仮定しないければならないようである。しかし、そのような仮定は体積ひずみ-時間関係の実測値と計算のズレを拡大してしまう。したがって Fig.~3 に示すような圧密中の  $C_V$  値の大きな変動は非ダルシー流れよりむしろ体積ひずみのクリープ特性によるものかと思われる。

5. あとがき 室内試験から圧密解析に必要な透水係数を評価する場合の問題について検討してみた。非ダルシー流れについては今後さらに実験的検討が必要と思われる。<sup>1)</sup> 著者 “鶴林山” 標準試験場<sup>2)</sup> 和 “鶴林山” 標準試験場<sup>3)</sup>

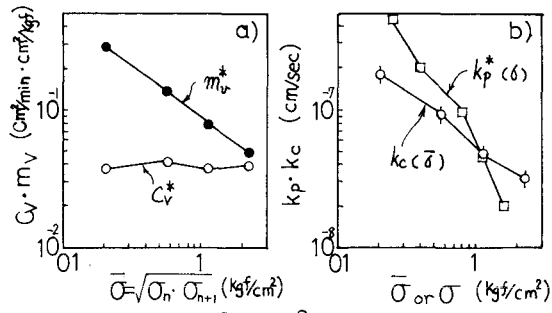


Fig. ~2

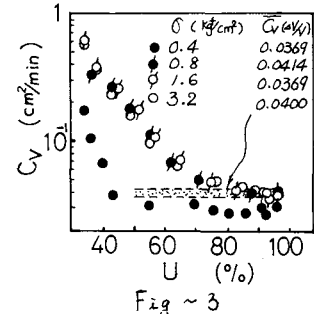


Fig. ~3

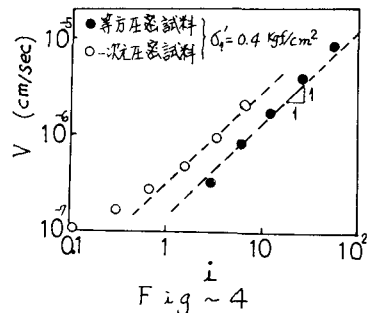


Fig. ~4

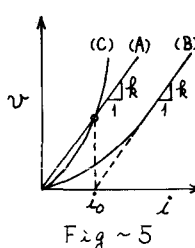


Fig. ~5

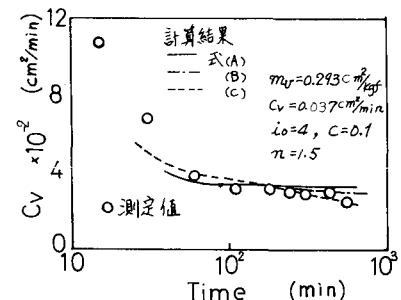


Fig. ~6